

МАГНИТНЫЕ И ЭЛЕКТРИЧЕСКИЕ СВОЙСТВА ВАРВИКИТА $\text{Fe}_{1.91}\text{V}_{0.09}\text{BO}_4$

*A. Д. Балаев^a, О. А. Баюков^a, А. Д. Васильев^a, Д. А. Великанов^a, Н. Б. Иванова^b,
Н. В. Казак^{a*}, С. Г. Овчинников^a, М. Абд-Эльмегид^{c**}, В. В. Руденко^a*

^a Институт физики им. Л. В. Киренского
Сибирского отделения Российской академии наук
660036, Красноярск, Россия

^b Красноярский государственный технический университет
660074, Красноярск, Россия

^c II. Physikalisches Institut, Universität zu Köln
50937, Köln, Germany

Поступила в редакцию 16 апреля 2003 г.

Проведены комплексные исследования структурных, магнитных и электрических свойств монокристалла $\text{Fe}_{1.91}\text{V}_{0.09}\text{BO}_4$. Измерения эффекта Мессбауэра, проведенные при $T = 300$ К, указывают на существование «локализованных» (Fe^{2+} , Fe^{3+}) и «делокализованных» ($\text{Fe}^{2.5+}$) состояний, распределенных по двум кристаллографически неэквивалентным позициям. Магнитные измерения показали, что исследуемый материал является ферримагнетиком P -типа ниже $T = 130$ К. Обнаружена прыжковая проводимость сильно взаимодействующих электронов. Обсуждение результатов ведется в сравнении со свойствами исходного варвикита Fe_2BO_4 . Дано качественное объяснение всей совокупности данных по электропроводности и намагниченности.

PACS: 72.80.Ga, 71.27.+a, 75.30.-m, 78.40.Fy

1. ВВЕДЕНИЕ

Большая часть оксиборатов переходных металлов с химической формулой $M^{2+}M^{3+}\text{BO}_4$ кристаллизуется в орторомбическую структуру варвикита ($\text{Mg}_{1.5}\text{Ti}_{0.5}\text{BO}_4$), которая представляет собой совокупность линейных, слабо взаимодействующих между собой полос, состоящих из двух внутренних и двух внешних цепочек, в которых октаэдрически окруженные двух- и трехвалентные атомы переходных металлов случайным образом занимают две неэквивалентные кристаллографические позиции. В последнее время эти соединения привлекают к себе широкое внимание как материалы с нетривиальным сочетанием свойств, присущих в значительной степени разупорядоченным сильнокоррелированным электронным системам [1–6]. С теоретической точ-

ки зрения исследование гейзенберговских одномерных цепочек с целым и полуцелым спином позволяет оценить влияние беспорядка на спектр возбуждений, рассчитать термодинамические параметры и описать свойства основного состояния. С точки зрения эксперимента имеется возможность наблюдать целый ряд явлений, таких как температурные магнитные переходы, необычное поведение кривых намагничивания и теплоемкости, а также моттовский переход от делокализованного состояния к локализованному в электропроводности. Кроме того, возможности синтеза варвикитов с большинством переходных элементов открывают широкое поле для систематического исследования их физических свойств.

В настоящее время синтезирован ряд монометаллических (Fe_2BO_4 [4], Mn_2BO_4 [6]) и, особенно, биметаллических оксиборатов ($M,M'\text{BO}_4$, где M и M' могут представлять собой элементы переходной группы (FeMnBO_4 [7, 8], ScMnBO_4 [2])), а также в каче-

*E-mail: nat@iph.krasn.ru, sgo@iph.krasn.ru

**M. Abd-Elmeguid

стве М может выступать и немагнитный щелочноземельный металл Mg или Ca [1].

Биметаллические оксбораты с немагнитным металлом в качестве М с точки зрения магнитного упорядочения представляют собой одномерные гейзенберговские антиферромагнитные цепочки с целым либо полуцелым спином и в данный момент являются в некоторой степени как теоретически, так и экспериментально исследованными авторами работ [9–11], причем в качестве соединения с полуцелым спином в этих работах выбрано соединение $MgTiBO_4$, а с целым спином — $MgVBO_4$. Выбор ванадия в качестве переходного металла обусловлен при этом большой протяженностью его 3d-орбиталей, что обуславливает гейзенберговскую природу обменных взаимодействий. В результате проведенных исследований было показано, что поведение магнитной восприимчивости в широком интервале температур, а также кривые намагничивания в данных системах подчиняются степенному закону, являющемуся характерным для сильно разупорядоченных спиновых цепочек как в случае $S = 1/2$, так и в случае $S = 1$. Авторы работы [9] показали, что соединение $MgVBO_4$ испытывает при $T = 6$ К переход в состояние спинового стекла.

В данной работе мы представляем новое соединение $Fe_{1.91}V_{0.09}BO_4$ с двумя магнитными 3d-ионами. Описание его магнитных и электрических свойств проведено в сравнении со свойствами достаточно подробно исследованного в [4, 12–14] и других работах исходного варвикита Fe_2BO_4 , наиболее яркими особенностями которого являются три вида испытываемых им переходов — структурный при $T = 317$ К из моноклинной структуры в орторомбическую, сопровождаемый электронным переходом полупроводник–полупроводник, связанным с делокализацией носителей заряда, и магнитный при $T = 155$ К из параметрического состояния в ферримагнитное P -типа.

2. ОБРАЗЦЫ И МЕТОДИКА ЭКСПЕРИМЕНТА

Монокристаллы $FeVBO_4$ были выращены по раствор–расплавной технологии в системе Fe_2O_3 – V_2O_3 – B_2O_3 –(70 PbO+30 PbF₂ вес.%) с промежуточным охлаждением раствора–расплава от 900 до 780 °С. В работе [4] отмечаются трудности в выращивании кристаллов Fe_2BO_4 из раствора–расплава, в связи с чем авторами был применен твердофазный синтез, позволивший получить лишь

поликристаллические образцы в совокупности с другими фазами, впоследствии удалявшимися путем магнитной очистки. Тем не менее нами были получены кристаллы $FeVBO_4$, которые имели правильную форму, гладкую поверхность и кристаллизовались в виде иголок длиной до 1.0 см и толщиной 0.10–0.15 мм.

Для определения количества входящих элементов был выполнен энергодисперсионный рентгеновский анализ (EDAX ZAF Quantification), который показал, что относительное содержание железа в образце равно 95.42 ат.%, а содержание ванадия — 4.58 ат.%. Таким образом, формульная единица замещенного варвикита — $Fe_{1.91}V_{0.09}BO_4$.

Спектр рентгеновской дифракции был получен на установке D8ADVANCE. Сканирование по углу $2\theta = 13.4 - 89.7^\circ$ для линии излучения K_α на Си с $\lambda = 1.5406$ показало орторомбическую структуру ($Pnam$) при комнатной температуре. Измеренные параметры решетки приведены в табл. 1 в сравнении с данными [15] для Fe_2BO_4 . Объем элементарной ячейки $Fe_{1.91}V_{0.09}BO_4$ равен 274.82 \AA^3 , что практически совпадает с объемом ячейки Fe_2BO_4 равным 275.02 \AA^3 , однако, как видно из таблицы, при комнатной температуре кристаллическая структура $Fe_{1.91}V_{0.09}BO_4$ является орторомбической, в то время как для Fe_2BO_4 выражены моноклинные искажения.

Измерения температурных и полевых зависимостей намагниченности были выполнены на вибрационном магнитометре со сверхпроводящим соленоидом. Измерения намагниченности в нулевом поле были получены на SQUID-магнитометре.

Мессбауэровские измерения были проведены с источником $Co^{57}(Cr)$ на порошках монокристаллических образцов $Fe_{1.91}V_{0.09}BO_4$ толщиной $5\text{--}10 \text{ mg} \cdot \text{cm}^{-1}$ по естественному содержанию железа при комнатной температуре.

Также были выполнены резистивные измерения на постоянном токе в диапазоне температур $T = 90\text{--}430$ К по двухконтактной схеме. Для измерения высоких сопротивлений был использован тераметр Е6-13А, позволяющий измерять сопротивления до 10^{13} Ом. Контакты были выполнены с использованием индиевой пасты, их омичность проверена путем исследования вольт–амперных характеристик. Термопара медь–константан находилась непосредственно вблизи образца. Нагрев и охлаждение образца проводились со скоростью 1 К в минуту во избежание паразитного градиента температур.

Таблица 1

	$a, \text{ \AA}$	$b, \text{ \AA}$	$c, \text{ \AA}$	β	$V, \text{ \AA}^3$
$\text{Fe}_{1.91}\text{V}_{0.09}\text{BO}_4$	3.1727	9.3831	9.2317	89.993	274.84
Fe_2BO_4	3.1688	9.3835	9.2503	90.22	275.02

3. ИЗМЕРЕНИЯ ЭФФЕКТА МЕССБАУЭРА

Мессбауэровский спектр монокристалла $\text{Fe}_{1.91}\text{V}_{0.09}\text{BO}_4$ при комнатной температуре (рис. 1) представляет собой наложение нескольких квадрупольных дублетов. Разрешение линий спектра хуже, чем для незамещенного варвикита [4, 14], что может быть связано как с понижением температуры электронной делокализации $\text{Fe}^{2+}-\text{Fe}^{3+}$, так и с добавлением ванадия.

Функции распределения вероятности квадрупольного расщепления $P(E_Q)$ для трех валентных состояний железа Fe^{3+} , $\text{Fe}^{2.5+}$, Fe^{2+} в спектре замещенного варвикита приведены на рис. 2. Эти функции носят качественный характер, поскольку в качестве подгоночных параметров использованы величины изомерных сдвигов, общие для каждого распределения. Видно, что катионы Fe^{3+} и Fe^{2+} занимают две неэквивалентные по локальному окружению позиции I и II. Катионы $\text{Fe}^{2.5+}$ имеют три сорта локальных окружений, различающихся по величине квадрупольного расщепления. Таким образом, наблюдаемый спектр $\text{Fe}_{1.91}\text{V}_{0.09}\text{BO}_4$ следует аппроксимировать семью квадрупольными

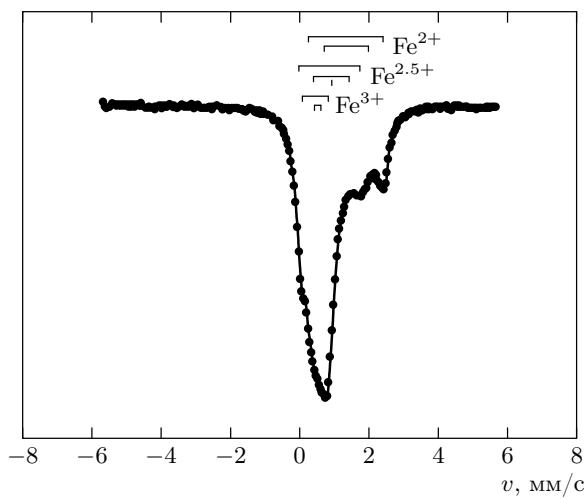


Рис. 1. Мессбауэровский спектр $\text{Fe}_{1.91}\text{V}_{0.09}\text{BO}_4$ при комнатной температуре

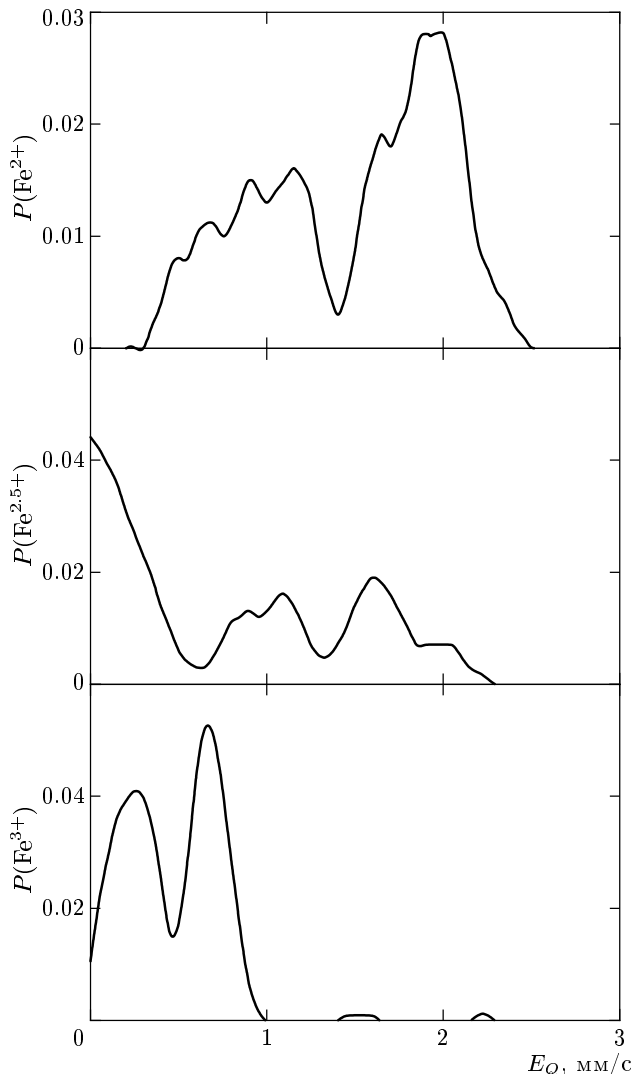


Рис. 2. Функция распределения вероятности квадрупольного расщепления в $\text{Fe}_{1.91}\text{V}_{0.09}\text{BO}_4$

дублетами. Аналогичная модель использована авторами работы [14] при расшифровке спектра незамещенного варвикита Fe_2BO_4 .

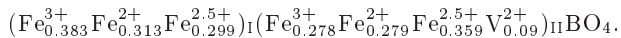
Параметры сверхтонкой структуры, полученные в результате подгонки модельного спектра к экспериментальному методом наименьших квадратов

Таблица 2

	$\delta(\alpha_{Fe})$, мм/с	ΔE_Q , мм/с	Γ , мм/с	A , %
Fe ³⁺ (I)	0.378	0.192	0.350	20
Fe ³⁺ (II)	0.287	0.743	0.286	14.5
Fe ²⁺ (I)	1.196	1.236	0.576	16.4
Fe ²⁺ (II)	1.192	2.147	0.344	14.6
Fe ^{2.5+} (I)	0.76	—	0.504	15.6
Fe ^{2.5+} (IIa)	0.75	1.006	0.583	13.3
Fe ^{2.5+} (IIb)	0.702	1.736	0.304	5.5

в предположении лоренцевой формы линий, представлены в табл. 2. Изомерные сдвиги Fe²⁺ (I, II) и Fe³⁺ (I, II) типичны для «локализованных» состояний этих катионов, находящихся в высокоспиновом состоянии и октаэдрической координации кислорода. Изомерные сдвиги Fe^{2.5+} (I, IIa, IIb) характерны для смешанной валентности катионов Fe²⁺ и Fe³⁺, возникающей в результате быстрого электронного обмена между этими ионами. Соотношение величин изомерных сдвигов говорит о том, что электронная плотность на ядрах железа в позиции II выше, чем в позиции I. В то же время величины квадрупольных расщеплений свидетельствуют о большей степени искажения координационного октаэдра в позиции II. Относительно высокая локальная симметрия в позиции I позволяет отнести наблюдаемый синглет Fe^{2.5+} (I) к этой позиции, а два дублета Fe^{2.5+} (IIa) и Fe^{2.5+} (IIb) — к неэквивалентным состояниям в позиции II.

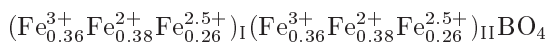
Распределение ионов Fe²⁺, Fe^{2.5+}, Fe³⁺ по кристаллографическим позициям I и II, полученное из мессбауэровского эксперимента, позволяет нам записать формулу замещенного варвикита в виде



Формульный дефицит катионов в позиции I (~ 0.005) мал по сравнению с содержанием ванадия в кристалле и может быть связан с ошибкой эксперимента. Таким образом, данные эксперимента свидетельствуют о том, что ванадий входит только в позицию II в структуре данного варвикита. С учетом условия электронейтральности формальная валентность ванадия равна 2+.

Из сравнения полученного катионного распреде-

ления в исследуемом кристалле с распределением в незамещенном варвиките [13, 14]



следует, что ванадий замещает ионы Fe²⁺ в позиции II, при этом общее число катионов железа в кристалле, подверженных быстрому электронному обмену, возросло с 0.52 (Fe_2BO_4) до 0.66 ($Fe_{1.91}V_{0.09}BO_4$) атомов на формульную единицу. Введение ванадия в кристалл изменяет соотношение числа «делокализованных» атомов в позициях I и II. Так, присутствие ванадия в подрешетке II увеличивает число «делокализованных» атомов в этой подрешетке с 0.26 (Fe_2BO_4) до 0.359 ($Fe_{1.91}V_{0.09}BO_4$). Это увеличение значительно больше по сравнению с увеличением в позиции I (с 0.26 до 0.299 атомов на формульную единицу).

Возможно, ванадий провоцирует упорядочение разновалентных катионов в той подрешетке, в которую входит, подобно упорядочению в варвиките марганца [6], например, V–Fe²⁺–Fe³⁺–V–Fe²⁺–Fe³⁺. Вероятно, два неэквивалентных состояния Fe^{2.5+} (IIa) и Fe^{2.5+} (IIb) возникают вследствие такого процесса.

4. НАМАГНИЧЕННОСТЬ

На рис. 3 приведена температурная зависимость намагниченности $M(T)$ соединения $Fe_{1.91}V_{0.09}BO_4$, измеренная в нулевом магнитном поле с помощью SQUID-магнитометра, а на рис. 4 — кривая $M(T)$ для внешнего магнитного поля $H = 1$ кЭ, измеренная вибрационным магнитометром. Внешнее магнитное поле H приложено параллельно иголке, вдоль оси a кристалла. Широкий максимум в намагниченности, наблюдаемый при $T = 60$ К, характеризует P -тип ферримагнитного упорядочения, переход в парамагнитное состояние происходит при $T = 130$ К. На кривой $M(T)$ рис. 3 видна особенность вблизи $T = 120$ К, ранее также наблюдавшаяся авторами работ [12–14] для Fe_2BO_4 . Авторы работы [12] приписывают эту особенность переходу Вервея в примесной фазе магнетита Fe_3O_4 . Авторы работ [13, 14] указывают на существование серии переходов в интервале температур 45–130 К и объясняют эти особенности различными температурными зависимостями намагниченности двух подрешеток в незамещенном Fe_2BO_4 . В нашем случае магнитные измерения и рентгеновская дифракция, проведенные на высококачественных монокристаллах, не показали присутствия примеси магнетита. Вероятно, особенность при $T = 120$ К присуща самой ис-

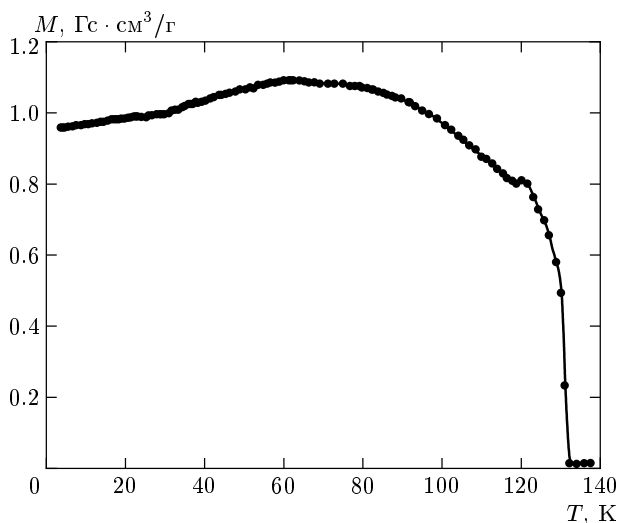


Рис. 3. Температурная зависимость намагченности $\text{Fe}_{1.91}\text{V}_{0.09}\text{BO}_4$ в нулевом поле

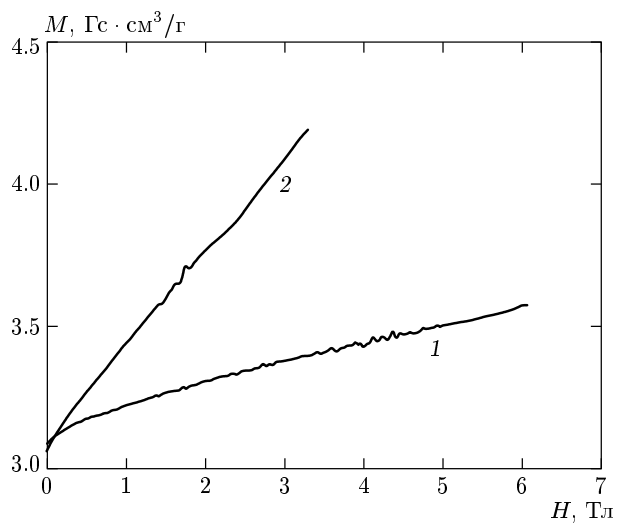


Рис. 5. Кривые намагничивания $\text{Fe}_{1.91}\text{V}_{0.09}\text{BO}_4$: $T = 4.2$ К (1), $T = 100$ К (2)

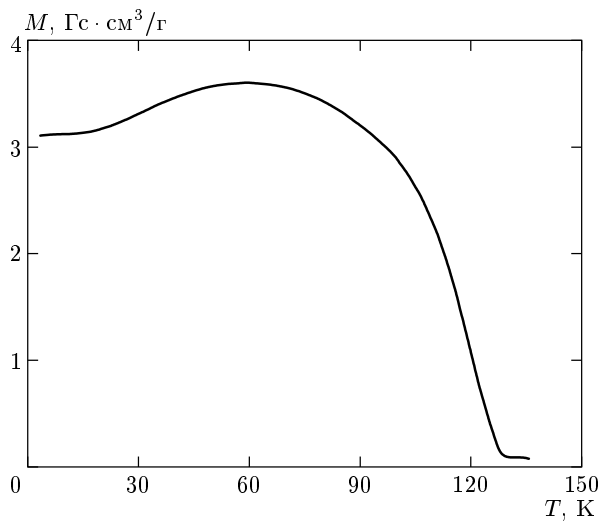


Рис. 4. Температурная зависимость намагченности $\text{Fe}_{1.91}\text{V}_{0.09}\text{BO}_4$ в магнитном поле $H = 1$ кЭ

следуемой системе $\text{Fe}_{1.91}\text{V}_{0.09}\text{BO}_4$, что, возможно, верно и для Fe_2BO_4 .

Кривая $M(T)$ на рис. 4, в свою очередь, имеет тот же характер, что и температурная зависимость намагченности Fe_2BO_4 [12], но, как можно заметить, присутствие ионов ванадия даже в сравнительно небольших количествах существенно понижает температуру магнитного перехода. Дальний магнитный порядок в $\text{Fe}_{1.91}\text{V}_{0.09}\text{BO}_4$ устанавливается при $T = 130$ К, тогда как для Fe_2BO_4 он имеет место при $T = 155$ К. Тот же эффект ранее наблюдал-

ся нами при исследовании серии твердых растворов $\text{Fe}_x\text{V}_{1-x}\text{BO}_3$ [16].

Кривые намагничивания монокристалла $\text{Fe}_{1.91}\text{V}_{0.09}\text{BO}_4$ (рис. 5), полученные при температурах 4.2 К и 100 К, демонстрируют нескомпенсированный магнитный момент равный $0.1\mu_B$ на формульную единицу. Эта величина больше полученного для Fe_2BO_4 значения $0.06\mu_B$ [4]. При $H > 1$ Тл кривые $M(H)$ представляют собой линейные зависимости без каких-либо особенностей, что соответствует повороту векторов намагченности подрешеток к направлению внешнего магнитного поля.

Как видно на рис. 5, в области слабых полей обнаруживается ненулевая намагченность образца, что, по-видимому, связано с наличием магнитной кристаллографической анизотропии.

5. ЭЛЕКТРОСОПРОТИВЛЕНИЕ

Температурная зависимость электросопротивления монокристаллов $\text{Fe}_{1.91}\text{V}_{0.09}\text{BO}_4$ в целом характерна для боратов 3d-металлов, таких как Fe_2BO_4 , VBO_3 , $\text{Fe}_x\text{V}_{1-x}\text{BO}_3$ [16], и характеризуется резким повышением сопротивления при низких температурах и диэлектризацией образца (рис. 6). Особенности поведения электронной системы этих материалов могут быть прослежены лишь на логарифмических зависимостях сопротивления от обратной температуры.

Известные законы изменения $\rho(T)$ в большин-

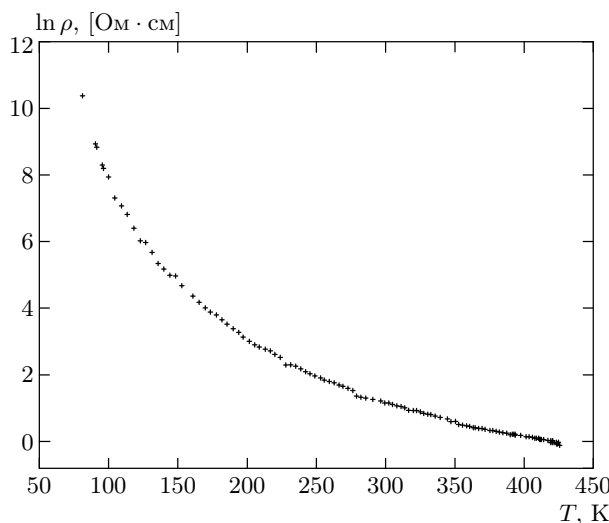


Рис. 6. Температурная зависимость логарифма удельного сопротивления

стве своем могут быть получены как частные случаи из общего выражения

$$\rho(T) = A_0 \exp(\Delta_n/T)^{1/n}, \quad n = 1, 2, 3, 4.$$

Для $n = 1$ формула представляет проводимость простого активационного типа с энергией активации Δ_1 . Прыжковая проводимость невзаимодействующих локализованных электронов в разупорядоченных изоляторах и полупроводниках при низких температурах подчиняется закону Мотта ($n = 4$). Такой тип проводимости был найден в твердых растворах серии $\text{Fe}_x\text{V}_{1-x}\text{BO}_3$ и монокристалле VBO_3 при температурах ниже комнатной. Значение $n = 2$ указывает на кулоновское взаимодействие между локализованными электронами в трехмерной системе. Эфрос и Шкловский [17] показали, что вследствие такого взаимодействия одноэлектронная плотность состояний стремится к нулю вблизи уровня Ферми. При этом сопротивление зависит от температуры по закону $\ln R \propto (\Delta_2/T)^{1/2}$, где параметр Δ_2 дается выражением

$$\Delta_2 \sim e^2/\varepsilon\zeta,$$

e — заряд электрона, ε — диэлектрическая постоянная вещества, ζ — линейный размер локализации.

Согласно работе [13], проводимость исходного варвикита Fe_2BO_4 подчиняется простому активационному закону с энергией активации $\Delta_n \approx 0.33$ эВ. Исследование электросопротивления нового монокристалла $\text{Fe}_{1.91}\text{V}_{0.09}\text{BO}_4$ показало нарушение линейной зависимости $\ln \rho(T) \propto T^{-1}$. Такое поведе-

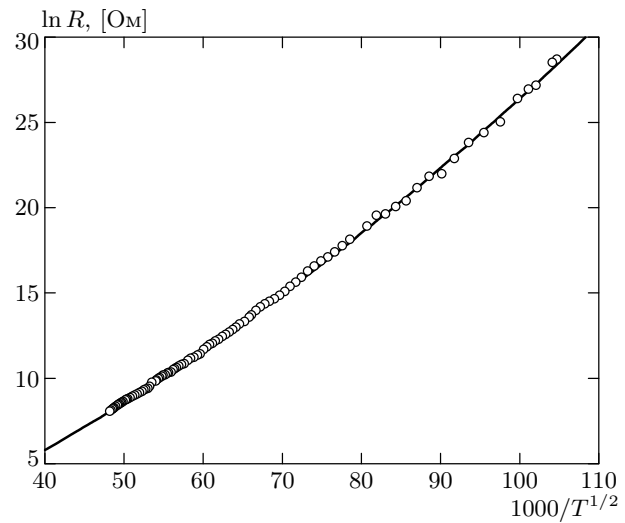


Рис. 7. Зависимость $\ln R$ от обратной температуры $T^{1/2}$

ние сопротивления можно приписать существованию различных конкурирующих механизмов проводимости. Обработка экспериментальных данных, проведенная по методу наименьших квадратов, дала следующую эмпирическую зависимость:

$$R(T) = A_1 \exp(\Delta_1/T) + A_2 \exp(\Delta_2/T)^{1/2},$$

где множители A_1 и A_2 слабо зависят от температуры. Первый член описывает активационный характер проводимости, второй связан с прыжками сильно коррелированных электронов (рис. 7). Величина энергии активации равна 0.15 ± 0.01 эВ. Энергия кулоновского взаимодействия Δ_2 оказалась равной 4.92 ± 0.009 эВ и является характерной величиной для оксидных соединений.

Теоретическое исследование электронной структуры природного варвикита MgTiBO_4 было проведено в работах [18, 19]. Авторы показали, что для правильного описания электронных свойств системы необходимо учитывать электронные корреляции на узлах $3d$ -металлов. Согласно этим расчетам, уровень Ферми E_F расположен внутри d -зоны переходного металла и допирование такого типа соединений может вызвать смещение E_F в область энергетической щели.

Изучая электрические свойства незамещенного соединения Fe_2BO_4 , авторы работы [20] предположили, что зарядовое упорядочение в этом кристалле также является следствием кулоновского отталкивания. Широкий, слабо выраженный переход полупроводник–полупроводник при $T = 317$ К, без

заметного изменения энергии активации, имеющий место в Fe_2BO_4 [4], не проявился в замещенном соединении $\text{Fe}_{1.91}\text{V}_{0.09}\text{BO}_4$. Однако необходимо отметить, что в работе [4] измерения были выполнены на поликристаллических образцах, следовательно, нельзя не учитывать влияния межзеренных границ.

6. ОБСУЖДЕНИЕ РЕЗУЛЬТАТОВ

Очевидно, новое соединение $\text{Fe}_{1.91}\text{V}_{0.09}\text{BO}_4$ имеет магнитные и электронные свойства, отличные от свойств Fe_2BO_4 , хотя нельзя утверждать, что они изменяются коренным образом. Экспериментальные данные позволяют выделить некоторые общие особенности в свойствах исходного соединения Fe_2BO_4 и нового варвикита $\text{Fe}_{1.91}\text{V}_{0.09}\text{BO}_4$:

- орторомбическая структура при высоких температурах;
- существование двух неэквивалентных кристаллографических положений;
- ферримагнитное упорядочение P -типа.

Согласно результатам нейтронной дифракции, проведенной на незамещенном Fe_2BO_4 , структура этого варвикита представляет собой совокупность линейных, слабо взаимодействующих между собой полос, каждая из которых состоит из двух внутренних и двух внешних цепочек (рис. 8). Октаэдры $(\text{M}, \text{M}')\text{O}_6$, имеющие общую грань, создают бесконечные цепочки параллельные короткой кристаллографической оси a . Полосы связываются через общую вершину и тригональные BO_3 -группы. Взаимодействие между катионами, принадлежащими к октаэдрам одной и той же полосы, осуществляется через два атома кислорода, находящихся в вершинах общей грани. В этом случае угол $\text{M}-\text{O}-\text{M}'$ приблизительно равен 90° и внутри полосы возникает кос-

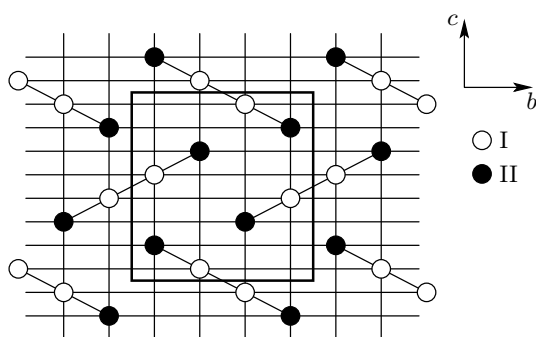
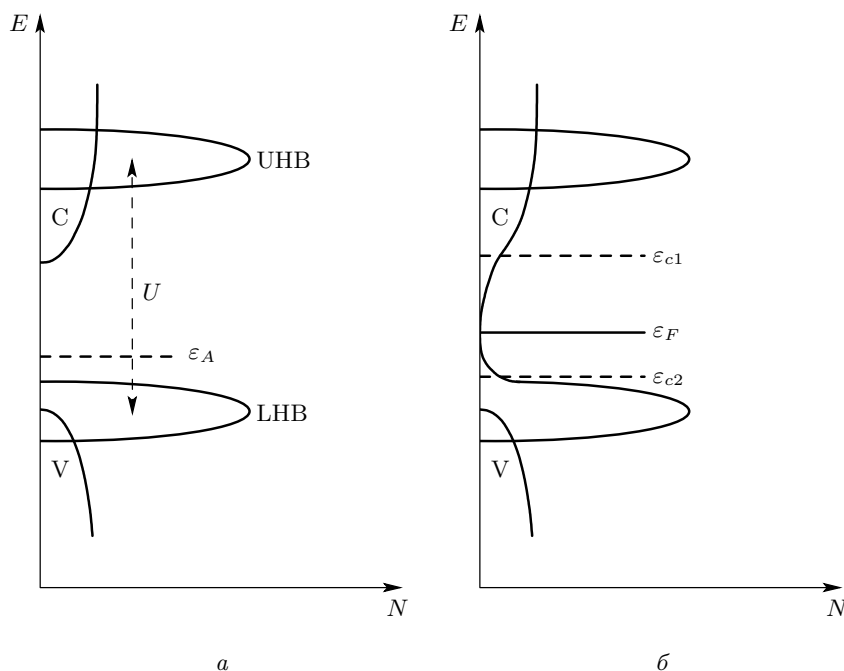


Рис. 8. Структура $\text{Fe}_{1.91}\text{V}_{0.09}\text{BO}_4$ в плоскости (100); I и II — неэквивалентные кристаллографические позиции катионов

венный 90 -градусный обмен. Взаимодействие между катионами, принадлежащими ближайшим полосам, осуществляется через один атом кислорода, находящийся в общей вершине октаэдров.

Можно предположить, что при замещении части ионов железа на ванадий в исследуемом кристалле $\text{Fe}_{1.91}\text{V}_{0.09}\text{BO}_4$ магнитная 3D-структура сохраняется и также представляет собой совокупность подструктур в виде полос. Введение ванадия приводит к увеличению магнитного момента насыщения, что может быть связано с уменьшением абсолютного значения намагниченности подрешетки II.

Исследование показало, что добавление ванадия вызывает изменение электрических свойств системы. Чтобы понять причину таких изменений, необходимо сравнить электронные структуры Fe_2BO_4 и $\text{Fe}_{1.91}\text{V}_{0.09}\text{BO}_4$. Для этих соединений характерны сильные электронные корреляции в узких d -зонах, формирующие как локализованные магнитные моменты, так и диэлектрическое основное состояние. Наличие сильных электронных корреляций не позволяет надежно рассчитать зонную структуру традиционными одноэлектронными методами зонной теории в приближении локального функционала плотности. Расчет зонной структуры родственного бората FeBO_3 был выполнен с использованием метода локального спинового функционала плотности [21] и в обобщенном градиентном приближении, учитывающем нелокальные поправки к локальному функционалу плотности [22]. К сожалению, в работе [22], где обсуждается изменение параметров решетки и магнитного состояния под давлением, не приведены сами зонная структура и плотность одноэлектронных состояний $N(E)$. Поэтому мы будем в основном опираться на результаты работы [21], где приведены парциальные вклады в плотность одноэлектронных состояний от различных орбиталей $\text{B}_{2s,2p}$, $\text{O}_{2s,2p}$ и Fe_{3d} . Согласно этому расчету дно пустой зоны проводимости (С) и потолок валентной зоны (V) формируются гибридными s -, p -состояниями В и О. Близко к потолку валентной зоны находится узкая d -зона Fe. В одноэлектронном расчете уровень Ферми находится внутри d -зоны и кристалл приобретает металлические свойства. Учет сильных электронных корреляций ведет к модификации расчетов локального спинового функционала плотности [21], и основной эффект заключается в расщеплении d -зоны на нижнюю заполненную (LHB) и верхнюю пустую (UHB) подзоны, разделенные большой щелью порядка U , где U — внутриатомный кулоновский матричный элемент. Типичное значение U для 3d-металлов составляет примерно 5 эВ.

Рис. 9. Схема плотности состояний Fe_2VO_4 (a) и $\text{Fe}_{1.91}\text{V}_{0.09}\text{VO}_4$ (б)

Предлагаемая нами модель зонной структуры для исходного кристалла Fe_2VO_4 приведена на рис. 9a. Штриховыми линиями выше LHB показан примесный акцепторный уровень, обусловливающий активационную проводимость с энергией активации E_a . При этом носителями будут электроны из LHB.

Замещение части ионов железа на ванадий приводит к увеличению степени беспорядка в кристалле, вследствие чего появляется псевдоцель с порогом подвижности ε_{c1} для зоны проводимости и ε_{c2} на потолке валентной зоны. Уровень Ферми попадает в область локализованных состояний (рис. 9б). Вследствие кулоновских взаимодействий плотность состояний на уровне Ферми $N(\varepsilon_F)$ обращается в нуль [17]. В случае одноэлектронных состояний проводимость определялась бы обычным моттовским законом: $\ln \sigma(T) \propto (\Delta_4/T)^{1/4}$, характеризующим термически активированные прыжки переменной длины. Поскольку носителями на потолке валентной зоны являются сильно коррелированные электроны, неудивительно, что для $\text{Fe}_{1.91}\text{V}_{0.09}\text{VO}_4$ проводимость ближе к закону Эфроса–Шкловского: $\ln \sigma(T) \propto (\Delta_2/T)^{1/2}$. Согласно [17] $\Delta_2 \sim e^2/\varepsilon\zeta$, где ζ — длина локализации электрона. В нашем случае локализация 3d-электронов обусловлена внутриатомными сильными электронными корреляциями

и естественно положить $\zeta \sim a_B$, где a_B — боровский радиус, тогда $\Delta_2 \sim U$.

Экспериментальные результаты показали существование двух различных механизмов проводимости: прыжкового и активационного с энергией активации Δ_1 . Этот факт указывает на то, что наряду с локализованными электронами в системе присутствуют зонные носители.

В заключение отметим, что полученные моноцирсталлы $\text{Fe}_{1.91}\text{V}_{0.09}\text{VO}_4$, в отличие от исходного Fe_2VO_4 , не претерпевают структурного перехода. Добавление ванадия заметно понижает температуру магнитного упорядочения, изменяет тип проводимости и распределение катионов Fe^{2+} , Fe^{3+} , $\text{Fe}^{2.5+}$ по кристаллографически неэквивалентным позициям.

Работа выполнена при финансовой поддержке РФФИ (грант № 03-02-16286) и ФПЦ «Интеграция» (грант № Б0017).

ЛИТЕРАТУРА

1. J. C. Fernandes, R. B. Guimarães, M. A. Continentino et al., Phys. Rev. B **50**, 16754 (1994).
2. R. B. Guimarães, J. C. Fernandes, M. A. Continentino et al., Phys. Rev. B **56**, 1, 292 (1997).

3. R. Norrestam, Z. Kristallogr. **189**, 1 (1989).
4. J. P. Attfield, A. M. T. Bell, L. M. Rodriguez-Martinez et al., J. Mater. Chem. **9**, 205 (1999).
5. M. A. Continentino, B. Boechat, R. B. Guimarães et al., J. Magn. Magn. Mat. **226–230**, 427 (2001).
6. R. Norrestam, M. Kritikos, and A. Sjoerdin, J. Sol. St. Chem. **114**, 311 (1995).
7. M. J. Buerger and V. Venkatakrishnan, Mater. Res. Bull. **7**, 1201 (1972).
8. K. Bluhm and A. Utzolino, Z. Naturforsch. B **50**, 1450 (1995).
9. M. A. Continentino, J. C. Fernandes, R. B. Guimarães et al., Phil. Mag. B **73**, 4, 601 (1996).
10. B. Boechat, A. Saguia, and M. A. Continentino, Sol. St. Comm. **98**, 5, 411 (1996).
11. A. Saguia, B. Boechat, and M. A. Continentino, J. Magn. Magn. Mat. **230**, 1300 (2001).
12. M. A. Continentino, A. M. Pedreira, R. B. Guimarães et al., Phys. Rev. B **64**, 014406-1 (2001).
13. A. P. Douvalis, V. Papaefthymiou, A. Mookarika et al., J. Phys.: Condens. Matter. **12**, 177 (2000).
14. A. P. Douvalis, V. Papaefthymiou, A. Mookarika et al., Hyperfine Interactions **126**, 319 (2000).
15. J. P. Attfield, J. F. Clarke, and D. A. Perkins, Physica B **180**, 581 (1992).
16. Н. Б. Иванова, В. В. Руденко, А. Д. Балаев и др., ЖЭТФ **121**, 354 (2002).
17. A. L. Efros and B. I. Shklovskii, J. Phys. C **8**, L49 (1975).
18. M. Matos, R. Hoffmann, A. Latge et al., Chem. Mater. **8**, 2324 (1996).
19. D. C. Marcucci, A. Latge, E. V. Anda et al., Phys. Rev. B **56**, 3672 (1997).
20. J. P. Attfield, A. M. Bell, L. M. Rodriguez-Martinez et al., Nature **396**, 655 (1998).
21. A. V. Postnikov, St. Bartkowski, M. Neumann et al., Phys. Rev. B **50**, 14849 (1994).
22. K. Parlinski, Eur. Phys. J. B **27**, 283 (2002).